

وزارت صنایع و معدن
طرح اکتشاف سراسری ذخایر معدنی

بروزه اکتشاف سیستماتیک در کمربند ارومیه - دختر

تهیه نقشه های مقدماتی پتانسیل مواد معدنی در گستره ورقه
۱:۱۰۰،۰۰۰ سبزواران با بهره گیری از سیستم های اطلاعات جغرافیایی
(GIS)

مجری طرح : محمد جواد واعظی پور

مشاور : شرکت توسعه علوم زمین

توسط : سیدعلی موسوی ماکویی

۱۳۷۹ زمستان

فهرست مطالب

صفحه	عنوان
	الف - مقدمه
۱	۱- موقعیت جغرافیایی و راههای دسترسی
۲	۲- زمین شناسی عمومی
۳	۳- روش مطالعه و مراحل انجام کار
۴	۴- لایه های مطالعاتی
۵	۱-۴- نقاط با پتانسیل معدنی
۸	۲-۴- اطلاعات زمین شناسی
۸	۳-۲- داده های تکتونیکی
۱۰	۴-۴- داده های ژئوشیمیایی
۱۲	۵-۴- داده های ژئوفیزیکی
۱۲	۱-۵-۴- برگردان به قطب
۱۳	۲-۵-۴- سیگنال
۱۴	۳-۵-۴- مشتق اول
۱۴	۴-۵-۴- گسلهای ژئوفیزیک
۱۵	۵-۵-۴- توده های نفوذی کم عمق
۱۶	۴-۶- داده های دورسنجی
۱۷	۵- نتیجه تلفیق داده ها
۲۰	۶- مراجع

مقدمه:

در راستای اکتشاف نخایر معدنی در زون جبال بارز - بزمان در نوار ارومیه - بخت، چهارگوش یکصد هزارم سبز واران نیز مورد پیجوبی و مطالعات معدنی قرار گرفت. پس از مطالعات ژئوفیزیکی، دور سنجی، زمین شناسی ساختمانی و اکتشافات سیستماتیک معدنی مطالعات مدلسازی براساس سیستم اطلاعات جغرافیایی نیز در دستور کار قرار گرفت تا با تلفیق داده های ارزشمند فوق و مدلسازی، در منطقه نواحی امیدبخش جدیدی جهت پیجوبی مواد معدنی و خصوصاً مس، مولیبدن، طلا آشکار شود و یا حداقل مساحت مناطق با احتمال پتانسیل معدنی محدودتر گردد.

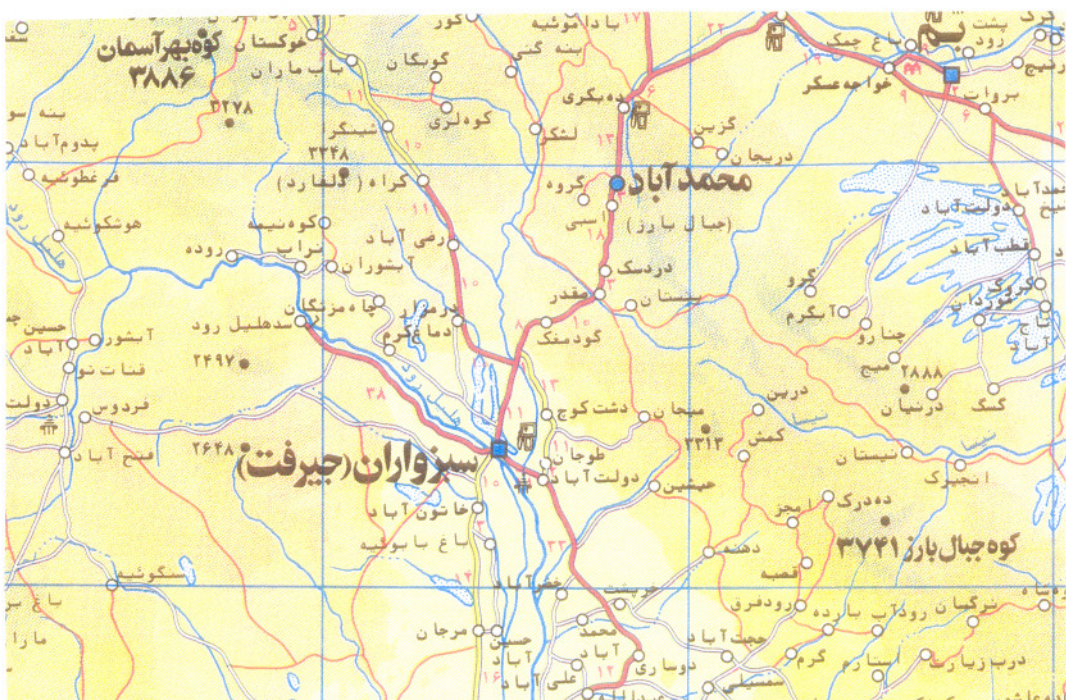
در این مطالعه از لایه های اطلاعاتی زمین شناسی، معدنی، ژئوفیزیکی (تصویر آنومالی های درجه ۱ و ۲، مناطق امیدبخش) ژئوفیزیک هوایی داده های ساختاری و اطلاعات ماهواره ای استفاده شده است.

تلفیق داده ها بروش وزنهای نشانگر و از طریق سیستم نرم افزاری Arcview صورت گرفت. ۶ منطقه پیشنهادی در مجموع مساحتی معادل ۰/۰۳ درصد از کل ورقه را شامل می شود.

بالطبع در صورت صحّت اطلاعات و نیز روش صحیح پردازش آنها مساحت مناطق مورد پیجوبی کاهش یافته و در هزینه های اکتشافی صرفه جویی قابل ملاحظه ای می شود.

۱- موقعیت جغرافیایی و راههای دسترسی:

چهارگوش یکصدهزارم سبزواران (جیرفت) جزئی از چهارگوش نویست و پنجاه هزارم سبزواران (چهارگوش شمالی وسط) است و بین عرضهای جغرافیایی ۲۸ درجه و ۳۰ دقیقه تا ۲۹ درجه شمالی و طولهای جغرافیایی ۵۷ درجه و ۳۰ دقیقه تا ۵۸ درجه شرقی قرار دارد. بزرگترین آبادی منطقه شهرستان جیرفت (سبزواران) در جنوب استان کرمان واقع است. راههای دسترسی به کرمان از طریق شهرستان جبال بارز از شمال و به بندر عباس از طریق کهنه‌ج در جنوب می‌باشد. رشته ارتفاعات معروف جبال بارز قسمتهای شمالی و شرقی منطقه را صعب‌العبور نموده است ز



شكل ۱- اهیاء نست سی به منطقه مورد مطالعه

۲- زمین‌شناسی عمومی :

روند عمومی تشکیلات منطقه به تبع زون ساختاری زاگرس در جهت شمال غرب - جنوب شرق است. واحدهای سنگی را بر راستای نکر شده از شمال شرق به جنوب غرب می‌توان به سه گروه تقسیم نمود. نوار آتشفشاری ارومیه - بختر که به قولی حاصل فرورانش ورقه عربی به زیر ورقه قاره‌ای ایران مرکزی است تا قسمتهای شمالی و شرقی این چهارگوش کشیده شده و ادامه می‌یابد. رشته ارتفاعات جبال بارز با جهت شمال غرب - جنوب شرق بخشی از این زون ساختاری محسوب می‌شود. نوار مرکزی فروافتاده آبرفتی و یا به عبارتی دشت جیرفت و نیز تشکیلات نگرگونه جنوب غرب چهارگوش از بیکر قسمتها بشمار می‌آیند. قدیمی ترین واحدهای سنگی منطقه شامل نگرگونه‌های پالئوزوئیک متعلق به این نوار نگرگونی است.

نوار ارومیه - بختر در این ناحیه متشكل از سنگهای ولکانیکی آندزیت، بازالت، ریولیت، داسیت، ریوداسیت، سنگهای آذرآواری از همین ترکیبات از انواع توف، آکلومرا و نیز واحدهای رسوبی بینابین شامل سنگ آهک، کنگلومرا، ماسه سنگ و مارن است. در برخی نقاط با واحدهای تخریبی بسن الیگو - میوسن پوشیده می‌شود.

خصوصیت بارز زون ارومیه - بختر حضور سنگهای پلوتونیکی است. توده‌های نفوذی مذکور بعنوان مولّد کانسارهای منطقه در نظر گرفته می‌شود. در این نوار دو گروه سنگهای پلوتونیکی گراناتیوئیدی مشاهده می‌شود. گروه اول با سن پیش از ائوسن، ولکانیکهای ائوسن آنها را پوشانده‌اند و گروه دیگر که بداخل این ولکانیکها نفوذ کرده‌اند. گروه اول با ترکیب

گرانیتی شامل بیوتیت گرانیت (g)، گرانیت آمفیبولدار (gh) (هورنبلندگرانیت) و گروه دوم با ترکیب گرانوپیوریت - دیوریت (gd و d) است. اصولاً نهشته‌های مس پرفیری با اینگونه پلوتونیکها در مناطق آتش‌فشانی فروزانش حاشیه قاره همراهند. نوار مرکزی بیشتر شامل تشکیلات آبرفتی عهد حاضر و نئوژن است. نوار نگرگونی جنوب غرب ورقه تشکیلات نگرگونه در حد رخساره شیسته‌های سیز از سنگهای آواری، آذرآواری و گدازهای بازیک (دیابازی) را در بر می‌گیرد (زون نگرگونی سندج - سیرجان).

۳- روش مطالعه و مراحل انجام کار:

بطور کلی دو شیوه معمول مطالعاتی در تلفیق داده‌ها در سیستم اطلاعات جغرافیایی وجود دارد. یک منطق ریاضی - آماری که ارزش نهی به اجزاء لایه‌ها از طریق سیستم صورت می‌گیرد و با پارامترهای آماری محاسبه می‌شود. در روش دوم امتیازبندی اجزاء توسط کاربر و کارشناسان مربوطه صورت می‌گیرد و تنها تلفیق نهایی توسط سیستم انجام می‌شود.

روش دوم می‌تواند بسیار مفید واقع شود در حالی که امتیازبندی بطور دقیق صورت گیرد و همان اندازه نیز بالعکس ممکن است گمراه کننده باشد. در این پژوهش از شیوه اول و از روش وزنهای نشانگر (weight's of Evidence) استفاده شده است و تنها در قسمتهای اندکی اعمال نظر شخصی نیز در داده‌های ورودی با نتایج سیستم آمیخته شده است.

۴- لایه‌های مطالعاتی :

روش وزنهای نشانگر در واقع مدلسازی براساس داده‌های از قبل موجود در زمینه خاص

(در این نمونه نقاط با پتانسیل معدنی) و تعمیم آن به مناطقی با همین شواهد و یا نزدیک به آن است. لذا شناخت عوامل مؤثر در تشکیل پدیده مورد مطالعه که مورد بحث، در این پژوهش کانسارهای فلزی و خصوصاً مس، مولیبدن و طلا بوده است، شرط اول بکارگیری داده‌ها و نیز نحوه بکارگیری آنهاست.

منطقه مورد مطالعه در زون ساختاری - متالوژنیکی ارومیه - بخت و به عبارتی کمربند مس زایی شمال غربی - جنوب شرقی واقع است.

همانگونه که نگرگونی پی‌جوبی اکتشافی (روزبه، سرمه و بدخشان، قیس ۱۳۷۹) نشان می‌دهد بیشترین اهمیت در این ورقه را عنصر فلزی مس دار است، شواهدی از طلا (علی‌رغم گزارشات قبلی) دیده نشده است و سایر کانسارها مربوط به مواد معدنی غیرفلزی است، با توجه به این پیش‌زمینه اطلاعات مفید برای پی‌جوبی مس بقرار زیر در نظر گرفته شد:

۱- نقاط با پتانسیل معدنی.

۲- اطلاعات زمین‌شناسی شامل واحدهای لیتلولژیکی جهت خواستگاه ماده معدنی و مدل‌سازی سنگ درونگیر.

۳- اطلاعات تکتونیکی برای تشخیص محل مناسب جهت نفوذ محلولها و نیز جایگزینی توده‌های نفوذی کانه زا.

۴- داده‌های ژئوشیمیایی بمنظور تعیین گستره آنومالی‌های فلزی.

۵- داده‌های ژئوفیزیکی.

۶- داده‌های دورسنجی.

۴-۱- نقاط با پتانسیل معدنی :

مهمترین داده‌های مورد استفاده برای مدلسازی همین نقاط معدنی هستند. نقط این داده‌ها بسیار مهم است. چرا که مدلسازی براساس موقعیت مکانی این نقاط صورت می‌گیرد، هر گونه جابجایی در مکان این نقاط باعث اغتشاش و گمراهی در مدلسازی سیستم می‌شود. بعنوان مثال اگر نقطه‌ای چند صد متر جابجایی داشته باشد ممکن است در واحد زمین‌شناسی بیگری قرار گیرد زیرا مبنای داده‌های زمین‌شناسی متفاوت است. و در همین راستا ویژگی‌های غلط و نامرتبی با این نقاط از داده‌های ژئوفیزیک و نیز فاصله با گسلها و بیگر خصوصیات انتخاب گرد.

همانگونه که در گزارش پی‌جوبی این ورقه (روزبه، سرمه و بدخشان، قیس، ۱۳۷۹) آمده است، بدلیل نبود دستگاه GPS احتمالاً نقاط معدنی گزارش شده از نقط جغرافیایی و مکانی بالایی برخوردار نیستند.

در هر صورت ۲۹ اندیس معدنی در این گزارش پی‌جوبی قید شده است، ۲۵ مورد آن مربوط به مس می‌باشد و اساس کار ما قرار گرفته است. شکل شماره ۲ موقعیت این اندیس‌ها را با تفکیک ژنتیکی و با قید شماره نشان می‌دهد. (اقتباس از روزبه، سرمه و بدخشان، قیس، ۱۳۷۹).

اندیس ۱ - اندیس مس دره آبگرم : از نوع پرفیری با کانی زایی پراکنده با سنگ درونگیر گرانویوریتی حاوی پیریت، کالکوپیریت و مالاکیت با گسترش زیاده‌الاء آلتراسیونی و کانی زایی (تنازه بالا) از سوی گروه پی‌جوبی جهت اکتشافات نیمه‌تفصیلی و ژئوفیزیک معرفی

شده است (روزبه، سرمه و بدخشان، قیس ۱۳۷۹).

اندیس ۲ - اندیس مس کوهلری : از نوع پرفیری کانی زایی پراکنده گرانودیوریتی حاوی پیریت، کالکوپیریت، مالاکیت و آزوریت با گسترش زیاد کانی زایی (تناز بالا).

اندیس ۳ - اندیس مس زورک : از نوع پراکنده پرفیری و در توده نفوذی گرانودیوریتی واقع است، کانی سازی پیریت و کالکوپیریت، گسترش و حجم بسیار مادهٔ معدنی (تناز بالا) توسط یوگسلاوهای کارهای اکتشافی نیمه‌تفصیلی در شرف انجام بوده است که نیمه‌کاره قطع شده است، از سوی گروه پی‌جوبی برای کارهای نیمه‌تفصیلی پیشنهاد می‌شود.

اندیس ۴ - اندیس مس رضی آباد - مدین : از نوع پراکنده پرفیری بهمراه گرانودیوریت الیگومیوسن. حجم کانی زایی زیاد (تناز بالا) کارهای نیمه‌تفصیلی و تفصیلی توسط یوگسلاوهای در سال ۱۲۵۱ انجام گردیده (از جمله مطالعات ژئوفیزیک و ژئوشیمیایی) و نتیجه آنکه یا زون غنی شده تشکیل نشده و یا از بین رفته است و به صورت این منطقه چندان مناسب بنظر نمی‌رسد.

اندیس ۵ - اندیس مس شیردر : پرفیری با کانی سازی پراکنده با پیریت فراوان و کالکوپیریت اندک مالاکیت و آزوریت کانی سازی حجمی و تناز بالا درون توده نفوذی گرانودیوریتی.

اندیس ۶- اندیس مس در حمره : پرفیری، کانی‌سازی پراکنده برونتوده نفوذی گرانوپیوریت الیگومیوسن، پیریت فراوان همراه کالکوپیریت، مالاکیت و آزوریت اندک، تناز متوسط، مطالعات نیمه‌تفصیلی از سوی یوگسلاوهای (ژئوفیزیک) نشانگر زون سولفیدی به نسبت گسترده‌ای است که احتمالاً دارای سولفیدهای مس نیز هست.

اندیس ۷- اندیس مس سرکهنه: از نوع رگه‌ای با کانی‌سازی پراکنده با سنگ میزبان گرانیت آمفیبول دار، کانه از نوع مالاکیت و آزوریت، مطالعات نیمه‌تفصیلی یوگسلاوهای این منطقه را برای مطالعات بیشتر پیشنهاد نمی‌کند.

اندیس ۸- اندیس مس کل کوهی: از نوع رگه‌ای با کانه‌های مالاکیت و آزوریت با سنگ درونگیر و لکانیک و تناز متوسط.

از آنجاکه سایر اندیس‌ها از اهمیت کمتری برخوردارند به جزئیات آنها پرداخته نمی‌شود. در صورت نیاز، مرجع اصلی یعنی گزارش پی‌جوبی روزبه، سرمه و بدخشان، قیس ۱۳۷۹ راهگشا خواهد بود. در اینجا تنها اسمی این اندیس‌ها آورده می‌شود. اندیس ۹- سیاه معدن، اندیس ۱۰- دریجان، اندیس ۱۱- جاده جکی، اندیس ۱۲- آب بید، اندیس ۱۳- دره زرد، اندیس ۱۴- سرکیواه، اندیس ۱۵- غرب سرکیواه، اندیس ۱۶- ده مقصود، اندیس ۱۷- پاکوسفید، اندیس ۱۸- سیاه معدن، اندیس ۱۹- گراغان تنگان، اندیس ۲۰- دهنۀ زتگارد، اندیس ۲۱- شمال سرکهنه، اندیس ۲۲- دره پده، اندیس ۲۳- زمین دراز، اندیس ۲۴- توکل آباد و اندیس ۲۵- دره غار به اندیس‌های مورد نظر پس از رقومی سازی، مختصات جغرافیایی

داده شد تا بعنوان لایه اصلی اطلاعاتی در تلفیق استفاده شود.

۴-۲- اطلاعات زمین‌شناسی :

وعنوان مبنای اطلاعاتی از نقشه یکصد هزارم زمین‌شناسی سبزواران که توسط یوگسلاوهای در سال ۱۹۷۲ تهیه شده است استفاده شد. رقومی شده نقشه مورد نظر براساس نقاط اندیس‌های معدنی وزن گرفت و با توجه به کنتراست برگشتی سیستم، واحدهای سنگی مفید و مرتبط با کانی‌زایی شامل واحدهای بیوتیت گرانیت (g)، هورنبلند گرانیت (gh)، گرانوپیوریت (gd) و واحد Ev شامل آندزیت، آندزی بازالت، ریوداسیت، آلبیت تراکیت و سنگهای آذرآواری انتخاب گردید.

شکل ۳ نقشه باینری این واحدهای را نشان می‌دهد. قسمتهای سبز دارای ارزش ۱ و زمینه کرمی ارزش صفر دارند. همانطور که انتظار می‌رفت واحدهای انتخابی همانند اندیس‌های معدنی متعلق به زون ارومیه - بخترنده.

۴-۳- داده‌های تکتونیکی :

از آنجاکه گزارش بسیار مفصل و مفیدی در خصوص زمین‌شناسی ساختمانی و تکتونیک منطقه توسط نظری، حمید ۱۳۷۹ تهیه شده است، لذا اطلاعات تکتونیکی از این گزارش اقتباس شد و از گسلهای نقشه زمین‌شناسی صرفنظر شد.

ابتدا نقشه پیوست این گزارش رقومی شد و سپس راستهای شمالی - جنوبی و شمال غرب - جنوب شرق و شمال شرق - جنوب غرب بواسطه مطالب گزارش و نیز مذاکره با

کارشناس مذبور انتخاب گردید. ضمناً در گزارش نظری، حمید ۱۳۷۹ زونهای برشی جدا شده‌اند که بنظر میرسد محل‌های مناسبی جهت کانی‌زایی باشند. شکل شماره ۴ نقشه باینری این مناطق را نشان میدهد. قسمتهای سبز - آبی ارزش ۱ و زمینه برنگ کرمی ارزش صفر دارد.

برای انتخاب گسلها، از آنجاکه در گزارش ساختمانی منطقه انواع گسلها بخوبی تفکیک شده‌اند و نیز در مورد روند گسلهای مرتبط با کانی‌زایی بحث شده است، لذا ابتدا گسلهای با شبکه کم یعنی دو گروه گسلهای اورتراست و تراستی حذف گردید و سپس راستاهای شمالی - جنوبی و نیز مزدوج شمال غرب - جنوب شرق و شمال شرق - جنوب غرب انتخاب گردید. بعبارت دیگر گسلهای با راستاهای بین ۶۰ تا ۱۱۰ درجه حذف گردید. ضمناً گسلهای کوچک و فرعی نیز حذف شدند.

گسلهای مذبور به فاصله ۱۰۰۰ متری با فواصل ۱۰۰ متری بافر شدند شکل ۵ نتیجه بافر گسلهای را بهمراه نقاط معدنی نشان میدهد. به بافر این گسلها با نقاط معدنی وزن داده شد که کنتراست حاصل از آنرا در شکل ۶ می‌بینید.

تهیه شده است. در پایان این گزارش پس از تصحیحات آماری فراوان و پردازش داده‌ها نقاطی بعنوان مناطق امید بخش معرفی شده است که از همین مناطق بر تلفیق استفاده شد. از میان مناطق امید بخش معرفی شده درجه یک و دو آنچه مرتبط با مس، مولیبدن و طلا بوده استخراج شده که در جدول زیر مشاهده می‌شود.

No.	Class	type (Modelling)
4	2nd	Placer PGE-Au
10	1st	Porphyry Mo, Low F
12	2nd	Flat Faults Au
15	2nd	Besshi Massive Sulfide
18	1st	Cyprus Massive sulfide
19	2nd	Cyprus Massive Sulfide
21	2nd	Besshi Massive Sulfide
25	2nd	Besshi Massive Sulfide
27	2nd	Sado Epithermal veins
32	2nd	Besshi Massive Sulfide
40	2nd	Olympic Dam Cu-U-Au
41	2nd	Besshi Massive Sulfide
42	2nd	Cyprus Massive Sulfide
43	1st	Cyprus Massive Sulfide
44	2nd	Cyprus Massive Sulfide

شكل ۸- نقشهٔ باینری مناطق امید بخش بیشنهادی ژئوشیمی برای مس، مولیبден و طلا را نشان می‌دهد.

۴-۵- داده‌های زئوفیزیکی

این داده‌ها بر اساس پردازش داده‌های خام مغناطیس هوایی با عرض پرواز ۷/۵ کیلومتر توسط امیر مطلبی، نسیم، ۱۳۷۹ با روش‌های برگردان به قطب، مشتق اول و سیگنال و با جداسازی گسلها و توده‌های نفوذی کم عمق تهیه شده است.

۴-۱- برگردان به قطب: داده‌های مربوط به برگردان به قطب به ۳۰ دسته با فواصل مساوی تقسیم بندی شد (شکل ۹) و سپس با نقاط معدنی وزن دهی شد که کنتراست حاصل بر شکل ۱۰ جدولوار ارائه شده است.

CLASS	AREA_SQ_KM	AREA_UNITS	NO_POINTS	WPLUS	S_WPLUS	WMINUS	S_WMINUS	CONTRAST	S_CONTRAST	STUD_CNT
1	0.4400	0.4400	0							
2	0.3900	0.3300	0							
3	0.3100	0.3100	0							
4	0.3300	0.3300	0							
5	0.3100	0.3100	0							
6	0.3600	0.3600	0							
7	1.0900	1.0900	0							
8	1.0000	1.0000	0							
9	2.4800	2.4800	0							
10	5.2500	5.2500	0							
11	11.7400	11.7400	0							
12	21.0500	21.0500	0							
13	33.5400	33.5400	0							
14	40.3600	40.3600	0							
15	66.7700	66.7700	1	0.5644	1.0076	-0.0194	0.2141	0.5838	1.0301	0.5687
16	95.6800	95.6800	1	0.2000	1.0053	-0.0082	0.2141	0.2082	1.0278	0.2026
17	233.1900	233.1900	7	1.2751	0.3838	-0.2740	0.2508	1.5491	0.4585	3.3789
18	810.6000	810.6000	7	0.0073	0.3796	-0.0032	0.2511	0.0105	0.4551	0.0231
19	608.2600	608.2600	4	-0.2672	0.5017	0.0687	0.2305	-0.3338	0.5521	-0.8047
20	400.4900	400.4900	1	-1.2397	1.0013	0.1183	0.2142	-1.3580	1.0239	-1.3262
21	182.2700	182.2700	0							
22	74.3100	74.3100	1	0.4558	1.0068	-0.0185	0.2141	0.4723	1.0293	0.4589
23	37.1800	37.1800	0							
24	21.6000	21.6000	1	1.7252	1.0240	-0.0367	0.2141	1.7619	1.0461	1.6842
25	17.2100	17.2100	0							
26	5.5300	5.5300	0							
27	5.0000	5.0000	0							
28	3.6400	3.6400	0							
29	1.6700	1.6700	0							
30	0.8600	0.8600	0							
99	21.6900	21.6900	2							

شکل ۱۰- جدول کنتراست حاصل از وزن دهی داده‌های مغناطیس هوایی برگردان به قطب

همانگونه که در جدول مشهود است کلاسهای ۱۵ تا ۲۰ و ۲۲ و ۲۴ حاوی نقاط معدنی بوده‌اند و بهمین جهت دارای کنتراست‌اند. از این میان کلاسهای ۱۷ و ۲۴ برگزیده شد و شکل ۱۱ نقشه‌باینری آنرا نشان می‌دهد در این نقشه کلاسهای ۱۷ و ۲۴ ارزش ۱ و بقیه ارزش

CLASS	AREA_SQ_KM	AREA_UNITS	NO_POINTS	WPLUS	S_WPLUS	WMINUS	S_WMINUS	CONTRAST	S_CONTRAST	STUD_CNT
100	586.3200	586.3200	8	0.3938	0.3560	-0.1425	0.2435	0.5364	0.4313	1.2436
200	313.6600	313.6600	3	0.0344	0.5801	-0.0046	0.2142	0.0390	0.6184	0.0631
300	340.5300	340.5300	4	0.2421	0.5030	-0.0401	0.2192	0.2823	0.5487	0.5145
400	237.4800	237.4800	4	0.6077	0.5043	-0.0832	0.2192	0.6909	0.5498	1.2566
500	263.4300	263.4300	2	0.1985	0.7098	0.0193	0.2095	-0.2178	0.7401	-0.2943
600	156.0700	156.0700	1	-0.3694	1.0032	0.0188	0.2051	-0.3881	1.0240	-0.3791
700	128.1100	128.1100	1	-0.1705	1.0039	0.0078	0.2051	-0.1783	1.0247	-0.1740
800	127.9900	127.9900	0							
900	99.6000	99.6000	0							
1000	81.6900	81.6900	1	0.2839	1.0062	-0.0102	0.2051	0.2942	1.0269	0.2665
1001	369.6600	369.6600	1	-1.2354	1.0014	0.1072	0.2052	-1.3425	1.0222	-1.3134

شکل ۶- جدول کنتراست حاصل از وزن دار نمونی فواصل گسلها با نقاط معدنی، مشاهده می شود که تا فاصله چهارصد متری گسلها حائز ارزشند.

از آنجاکه فاصله چهارصد متری گسلها کنتراست مناسبی داشته است لذا تا فاصله چهارصد

متر ارزش ۱ و بیشتر ارزش صفر داشته و نقشه بانیری آن مطابق شکل ۷ تهیه شد.

در پایان بلحاظ آنکه اثر گسل بیش از حد معمول شود هر دوی این اطلاعات یعنی گسلها و زون برشی یکی شد (اجتماع گرفته شد) و در تلفیق مورد استفاده قرار گرفت. لازم بذکر است که اگر چه برای اولین بار از زونهای برشی استفاده شد و بعنوان اطلاعات تکمیلی تلقی می شود و لیکن بنظر میرسد تفاوت مثبتی در نتیجه ایجاد نمی کند.

۴-۴- داده های ژئوشیمیایی :

گزارش ژئوشیمی مبسوطی توسط هندی، رامین و همکاران ۱۳۷۹ از ورقه سبزواران

صفر پیدا کرده‌اند.

۴-۵-۲- سیگنال : حاصل پردازش سیگنال مربوط به داده‌های ژئوفیزیک هواپی پس از کلاسه بندی ۲۰ گانه (شکل ۱۲) وزن دهی شد که حاصل آن در شکل ۱۲ بصورت جدول آمده است:

CLASS	AREA_SQ_KM	AREA_UNITS	NO_POINTS	WPLUS	S_WPLUS	WMINUS	S_WMINUS	CONTRAST	S_CONTRAST	STUD_CNT
1	1416.9400	1416.9400	8	-0.4206	0.3546	0.3270	0.2597	-0.7476	0.4395	-1.7009
2	578.5700	578.5700	8	0.4833	0.3560	-0.1860	0.2591	0.6693	0.4403	1.5200
3	307.6200	307.6200	4	0.4210	0.5033	-0.0698	0.2303	0.4909	0.5535	0.8869
4	154.2400	154.2400	1	-0.2815	1.0033	0.0149	0.2141	-0.2964	1.0259	-0.2889
5	94.3100	94.3100	1	0.2146	1.0053	-0.0087	0.2141	0.2233	1.0279	0.2173
6	40.4000	40.4000	1	1.0768	1.0126	-0.0295	0.2141	1.1063	1.0350	1.0689
7	23.1100	23.1100	0							
8	18.3700	18.3700	0							
9	11.8200	11.8200	0							
10	8.7800	8.7800	0							
11	4.4400	4.4400	0							
12	3.5800	3.5800	0							
13	2.6800	2.6800	0							
14	1.8600	1.8600	0							
15	1.6600	1.6600	0							
16	1.6600	1.6600	0							
17	2.0300	2.0300	0							
18	2.3700	2.3700	0							
19	1.8400	1.8400	0							
20	1.0900	1.0900	0							
21	0.7800	0.7800	0							
22	0.6800	0.6800	0							
23	0.5100	0.5100	0							
24	0.4900	0.4900	0							
25	0.5700	0.5700	0							
26	0.5400	0.5400	0							
27	0.7500	0.7500	0							
28	0.5800	0.5800	0							
29	0.3900	0.3900	0							
30	0.1900	0.1900	0							
-99	21.6900	21.6900	2							

شکل ۱۳ - جدول کنتراست حاصل از وزن دهی داده‌های مغناطیس، سیگنال

از میان چهار کلاس وزن دار ۱ تا ۶ تنها بود کلاس ۲ و ۶ انتخاب شد. شکل ۱۴ نقشه باینری سیگنال را نشان می‌دهد به کلاس‌های ۲ و ۶ مقدار ۱ و به بقیه کلاس‌ها مقدار صفر داده شده است.

۴-۳-۵-۴- مشتق اول : مشتق اول داده‌های مغناطیس هوایی پس از کلاسه بندی ۲۰ گانه و وزن دهی با نقاط معدنی متأسفانه جواب مناسبی نداد همانگونه که در شکل ۱۵ ملاحظه می‌شود مقایر کنتراست کلیه کلاسها ناچیز است. بهمین جهت از بکارگیری این داده‌ها صرف‌نظر شد.

CLASS	AREA_SQ_KM	AREA_UNITS	NO_POINTS	WPLUS	S_WPLUS	WMINUS	S_WMINUS	CONTRAST	S_CONTRAST	STUD_CNT
1	0.2600	0.2600	0							
2	0.2700	0.2700	0							
3	0.2400	0.2400	0							
4	0.2600	0.2600	0							
5	0.1800	0.1800	0							
6	0.2300	0.2300	0							
7	0.2600	0.2600	0							
8	0.3100	0.3100	0							
9	0.7900	0.7900	0							
10	1.4000	1.4000	0							
11	2.9400	2.9400	0							
12	4.4600	4.4600	0							
13	14.3400	14.3400	0							
14	58.6200	58.6200	0							
15	199.2800	199.2800	2	0.1591	0.7107	-0.0139	0.2191	0.1730	0.7437	0.2326
16	1809.7800	1809.7800	16	0.0310	0.2511	-0.0675	0.3795	0.0986	0.4550	0.2166
17	435.9400	435.9400	4	0.0685	0.5023	-0.0138	0.2304	0.0824	0.5526	0.1491
18	104.2800	104.2800	1	0.1131	1.0048	-0.0048	0.2141	0.1179	1.0274	0.1148
19	33.4100	33.4100	0							
20	9.5800	9.5800	0							
21	2.2600	2.2600	0							
22	1.3600	1.3600	0							
23	1.0200	1.0200	0							
24	0.8300	0.8300	0							
25	0.4500	0.4500	0							
26	0.1000	0.1000	0							
-99	21.6900	21.6900	2							

شکل ۱۶- جدول کنتراست حاصل از وزن دهی داده‌های مغناطیس هوایی یا بردازش مشتق اول

۴-۵-۴- گسلهای زئوفیزیک : گسلهای پیشنهادی زئوفیزیک پس از فاصله بندی ۱۰۰ متر به فاصله ۱۰۰۰ متر با نقاط معدنی وزن دهی شده که حاصل آن در شکل ۱۷ بصورت جدول نشان میدهد تنها با فاصله ۱۰۰ متری این گسلها دارای ارزش‌اند. اگر چه کنتراست این گسلها در فواصل بالا ۸۰۰ متر و ۱۰۰۰ متر خوب بوده است اما بجهت آنکه ۱۱ نقطه معدنی خارج از

۱۰۰ متر واقع شده است بنظر میرسد گرفتن فواصل بالا بدلیل عدم بستگی مناسب نقاط معنی با این گسلها باعث اختشاش نتیجه گرید. لذا تنها تا فاصله ۱۰۰ متری مورد استفاده قرار گرفت. شکل ۱۸ نقشهٔ باینری آنرا نشان میدهد. تا فاصله ۱۰۰ متر ارزش یک و بقیه ارزش صفر دارند.

CLASS	AREA_SQ_KM	AREA_UNITS	NO_POINTS	WPLUS	S_WPLUS	WMINUS	S_WMINUS	CONTRAST	S_CONTRAST	STUD_CNT
100	126.8200	126.8200	3	0.9543	0.5843	-0.0805	0.2141	1.0348	0.6223	1.6629
200	69.2500	69.2500	1	0.4513	1.0073	-0.0150	0.2051	0.4664	1.0280	0.4537
300	99.2000	99.2000	1	0.0875	1.0051	-0.0035	0.2051	0.0910	1.0258	0.0887
400	66.7600	66.7600	1	0.4685	1.0076	-0.0160	0.2051	0.5045	1.0282	0.4906
500	101.5700	101.5700	1	0.0637	1.0050	-0.0026	0.2051	0.0662	1.0257	0.0646
600	64.3000	64.3000	1	0.5266	1.0079	-0.0169	0.2051	0.5436	1.0285	0.5285
700	63.3100	63.3100	1	0.5424	1.0080	-0.0173	0.2051	0.5597	1.0286	0.5441
800	88.6700	88.6700	2	0.9056	0.7152	-0.0505	0.2094	0.9561	0.7453	1.2829
900	67.2300	67.2300	0							
1000	83.9600	83.9600	3	1.3792	0.5879	-0.0972	0.2141	1.4763	0.6257	2.3594
1001	1873.4700	1873.4700	11	-0.4572	0.3024	0.6079	0.2695	-1.0651	0.4051	-2.6293

۶

شکل ۱۷- جدول کنتراست حاصل از وزن دهی فواصل گسلهای ژئوفیزیک با نقاط معنی

۴-۵-۵-۵- توده‌های نفوذی کم عمق: توده‌های نفوذی پیشنهادی از پردازش داده‌های ژئوفیزیک هوایی تا فاصله ۱۰۰۰ متری و با فواصل ۱۰۰ متر بافر شد. این کلاسها با نقاط معنی وزن دهی شدند که نتیجه در شکل ۱۹ بصورت جدول آمده است.

CLASS	AREA_SQ_K	AREA_UNITS	NO_POINTS	WPLUS	S_WPLUS	VMINUS	S_VMINUS	CONTRAST	S_CONTRAST	STUD_CNT
100	60.6900	60.6900	1	0.5854	1.0083	-0.0183	0.2051	0.6037	1.0290	0.5867
200	34.5300	34.5300	2	1.8855	0.7285	-0.0712	0.2094	1.9567	0.7580	2.5813
300	39.2000	39.2000	0							
400	34.3000	34.3000	0							
500	44.4300	44.4300	1	0.9034	1.0114	-0.0245	0.2051	0.9279	1.0320	0.8991
600	34.2400	34.2400	0							
700	34.0600	34.0600	0							
800	38.8900	38.8900	1	1.0398	1.0131	-0.0266	0.2050	1.0664	1.0337	1.0317
900	40.0200	40.0200	2	1.7296	0.7255	-0.0691	0.2094	1.7987	0.7551	2.3820
1000	38.6000	38.6000	0							
>1000	2305.5800	2305.5800	18	-0.1704	0.2366	0.6493	0.3813	-0.8196	0.4488	-1.8264

شکل ۱۹- جدول کنتراست حاصل از وزن دهی فوائل توده‌های نفوذی کم عمق محصول پردازش مغناطیس هوایی

همانگونه که مشاهده می‌شود تا فاصلهٔ ۹۰۰ متری دارای ارزش مناسب بودند. شکل ۲۰ باینری توده‌های نفوذی ژئوفیزیک را تا فاصلهٔ ۹۰۰ متری از کنタکت نشان می‌دهد. کلیه نتایج ژئوفیزیک توسط عملوند OR و یا بعبارتی با اجتماع گرفتن بصورت داده‌های واحد مورد استفاده قرار گرفت.

۴-۶- داده‌های دورسنجی: داده‌های دورسنجی در این منطقه تنها شامل پردازش آلتراسیون‌ها بود و متأسفانه داده‌های بیشتری نظیر گسلها و یا ساختارهای حلقوی و غیره در اختیار نبود.

داده‌های آلتراسیون نیز بصورت یک لایهٔ اطلاعاتی همانطور که در شکل ۲۱ ملاحظه می‌شود مورد استفاده قرار گرفت.

۵- نتیجه تلفیق داده ها:

تلفیق به روش وزنهای نشانگر Weight's of Evidence و در محیط نرم افزار Arcview انجام شد. لایه های اطلاعاتی زمین شناسی، تکتونیک، ژئوشیمی، ژئوفیزیک و بورسنگی پس از مراحل آماده سازی بگونه ای که ذکر شد براساس ان迪س هایمعدنی با یکدیگر تلفیق شدند، حاصل این تلفیق نقشه مناطق پیشنهادی مقدماتی با پتانسیل معدنی است. ضریب عدم وابستگی داده ها (conditional Independence Ratio) متأسفانه در این پردازش کمتر از ۱ و حدود ۰/۸۶ بود.

مقادیر احتمال مقدماتی پیشنهادی سیستم حداقل ۰.۵۱۴ است. در ۶ نقطه مقادیر احتمال به حداقل می رسد که بدون در نظر گرفتن اولویت از ۱ تا ۶ نامگذاری شده شکل ۲۲ محصول نهایی تلفیق و نقاط پیشنهادی سیستم را نشان می دهد.

مقادیر احتمال در ۵ کلاسه تا ۰/۱ بین ۰/۱ و ۰/۲، بین ۰/۲ و ۰/۲۷، بین ۰/۲۷ و ۰/۳، بین ۰/۳ و ۰/۴ و در نهایت ۰/۰ تا ۰/۵ را نشان می دهد. از این مقادیر تنها بی کلاس بیشترین احتمال یعنی مقادیر بالای ۰/۳ در نظر گرفته شده است و برآن اساس ۶ نقطه با مختصات نیل شکل (۲۲) معرفی می شود.

<i>Anomaly</i>	<i>X_COORD</i>	<i>Y_COORD</i>
1a	565356.44872	3204370.62480
1b	565231.97728	3203549.11329
1c	565779.65162	3203549.11329
2	570385.09494	3199441.55573
3a	571331.07789	3200810.74159
3b	571779.17508	3200362.64440
4a	575637.78976	3202055.45600
4b	575538.21260	3200561.79870
4c	574965.64397	3200636.48157
5	579944.50162	3186969.51733
6	586392.12227	3179401.65371

شکل ۲۳- جدول مختصات نقاط ۶ گانه پیشنهادی بعنوان نقاط با احتمال تجربی بالا در پتانسیل مواد معدنی.

بطور کلی با توجه به فعالیت های گستردۀ ای که در منطقه جهت اکتشاف مس صورت گرفته است و نیز نزدیکی نقاط پیش بینی شده به ان迪س های معدنی موجود بنظر می رسد امکان ریابی نخایر وسیع و خصوصاً در دسترس و با پرونزد سطحی بسیار کم باشد. برای نمونه مساحت آنومالی های معرفی شده از طریق این سیستم در مقایسه با سایر داده ها ارائه می شود (در خصوص مس، مولیبدن و طلا):

مساحت کل منطقه حدود ۲۶۶۳ کیلومترمربع.

مساحت آنومالی های ژئوشیمیایی مرتبط ۲/۸۵ کیلومترمربع

مساحت آلتراسیون های بورسنجدی ۰/۹۸ کیلومترمربع

مساحت آنومالی های کلاس ۱ پیشنهادی ۲۷/۰ کیلومترمربع

در مجموع ۷۱/۰ کیلومترمربع

مساحت آنومالی های کلاس ۲ پیشنهادی ۴۴/۰ کیلومترمربع

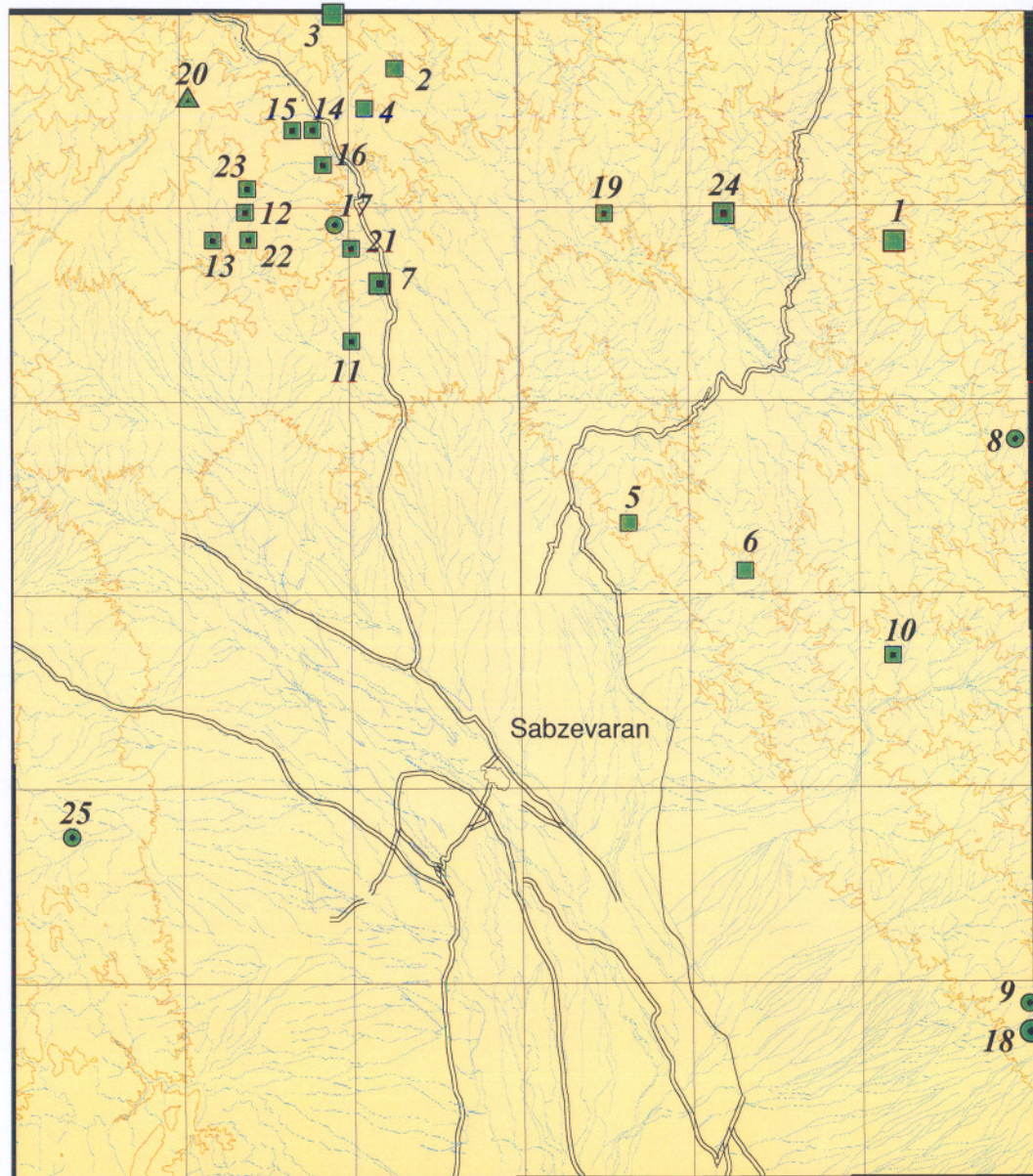
چنانکه آمار نشان می نهد در صورت استفاده بهینه از سیستم وجود داده های صحیح

و دقیق بدلیل کاهش چشمگیر مساحت اکتشافی هزینه مطالعات بسیار کاهش می یابد:

در پایان لازم می دانم اشاره مجدد به عدم نقطه کافی موقعیت فضایی نقاط معدنی بکار

گرفته شده در تلفیق به جهت نبود دستگاه GPS اشاره کنم. این مسئله خطای زیادی در

پردازش داده ها بوجود می آورد.



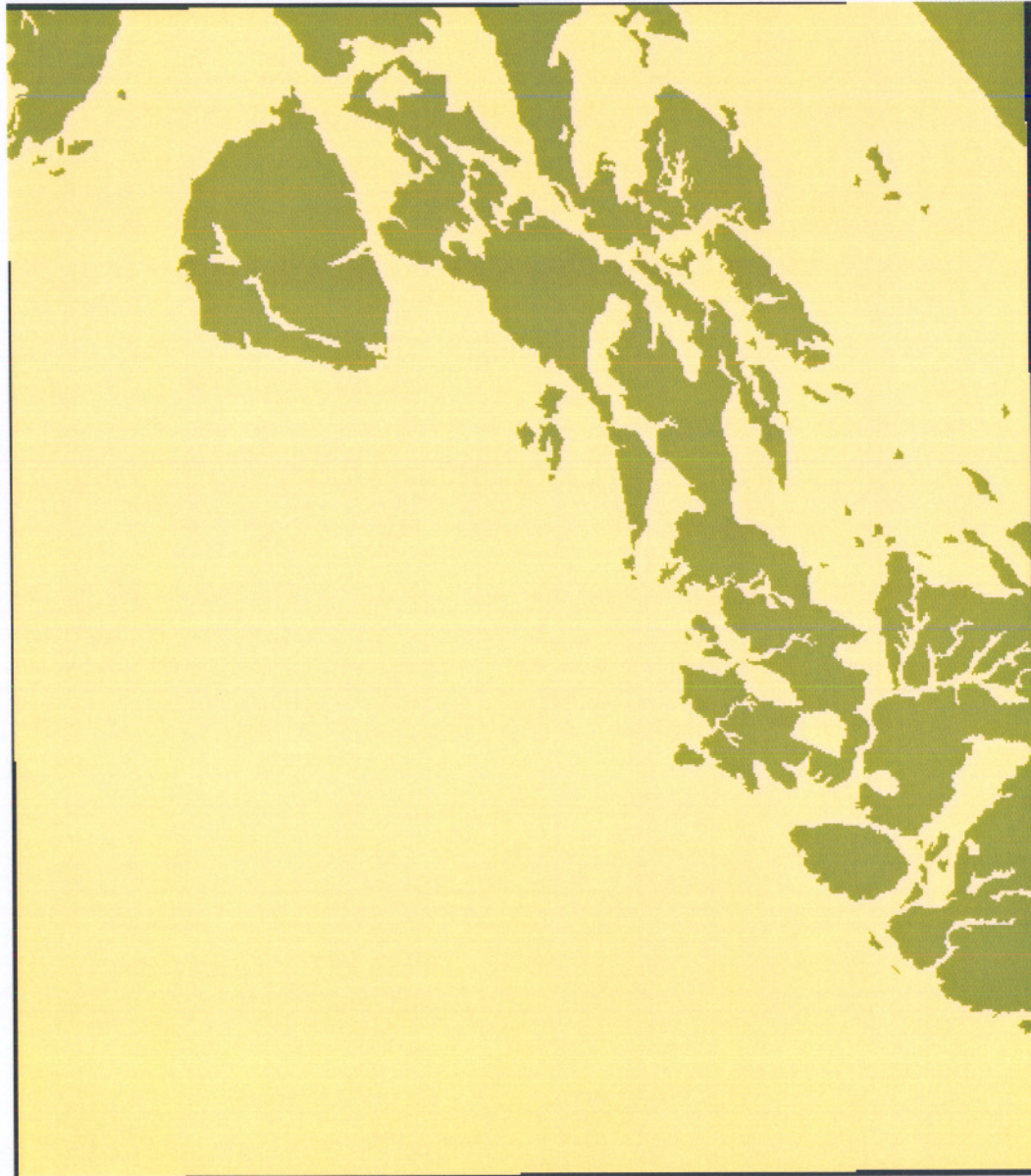
وزارت
صنایع و معدن
سازمان زمین شناسی و
اکتشافات معدنی کشور



Scale : 1 : 350,000

Series	Group	Class	Genetic Type			Morphological Type		
			Magmat.	Skarn	Hydrotherm.	Veins	Lenses	Dessimi.
Endogenous								
	Plutono.		■					
	Volcano.			○				
Exoge.	Weath. Unresl.				●			
	Sedim.					△		
Meta.	Meta.					▲		

Mineral Deposit Map of Sabzevaran



Geological Binary Map of Sabzevaran

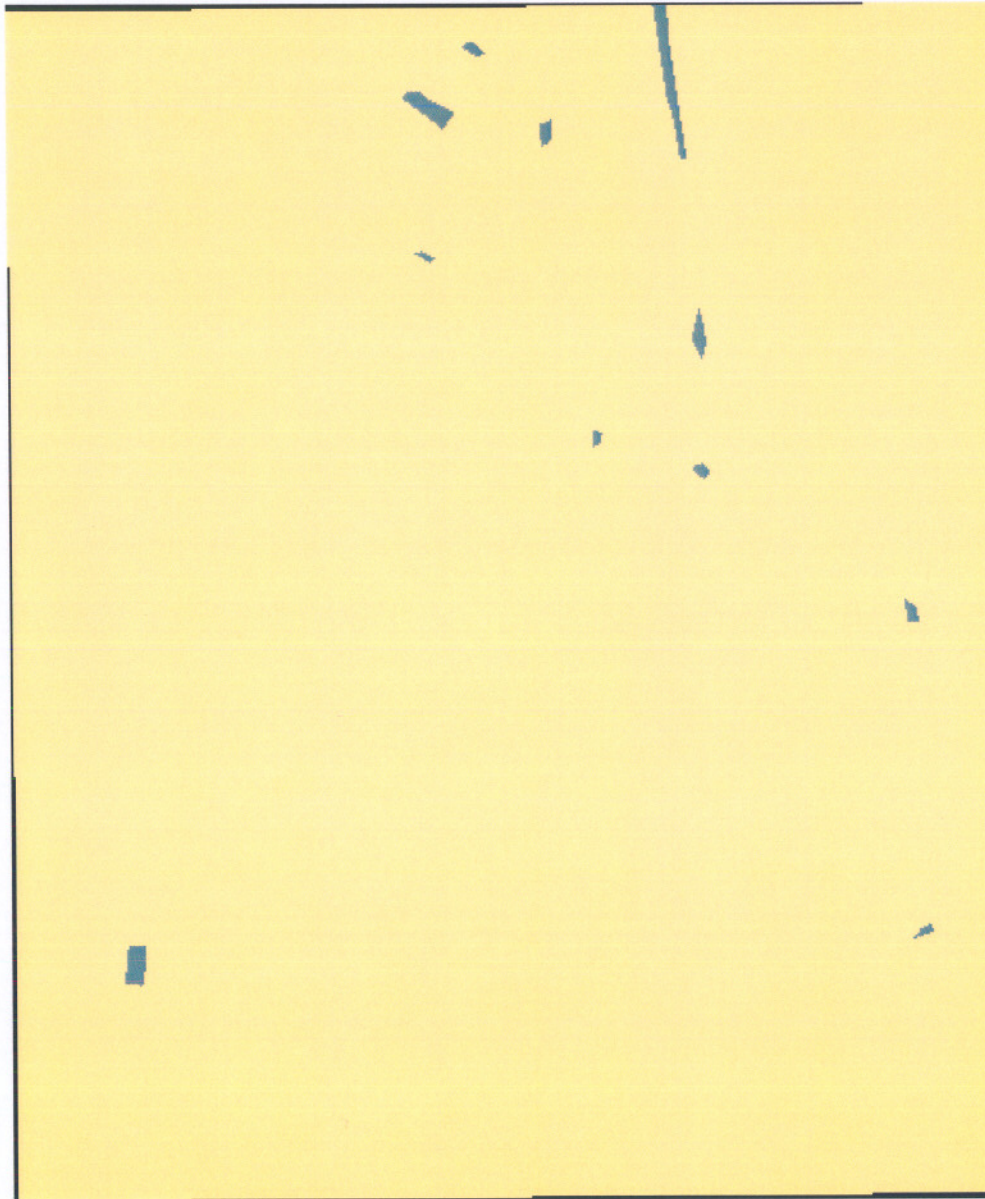
Lithological Units (g , gh , gd , Ev)



Scale : 1 : 350,000

Reclass of 4 Geologygrid

0
1
No Data



Shear-Zone Binary Map of Sabzevaran



Scale : 1 : 350,000

Sheargrid

	0
	1
	No Data



Fault Buffer Map of Sabzevaran

Faultbin.shp - Buffers

100
200
300
400
500
600
700
800
900
1000
>1000 m



Scale : 1 : 350,000



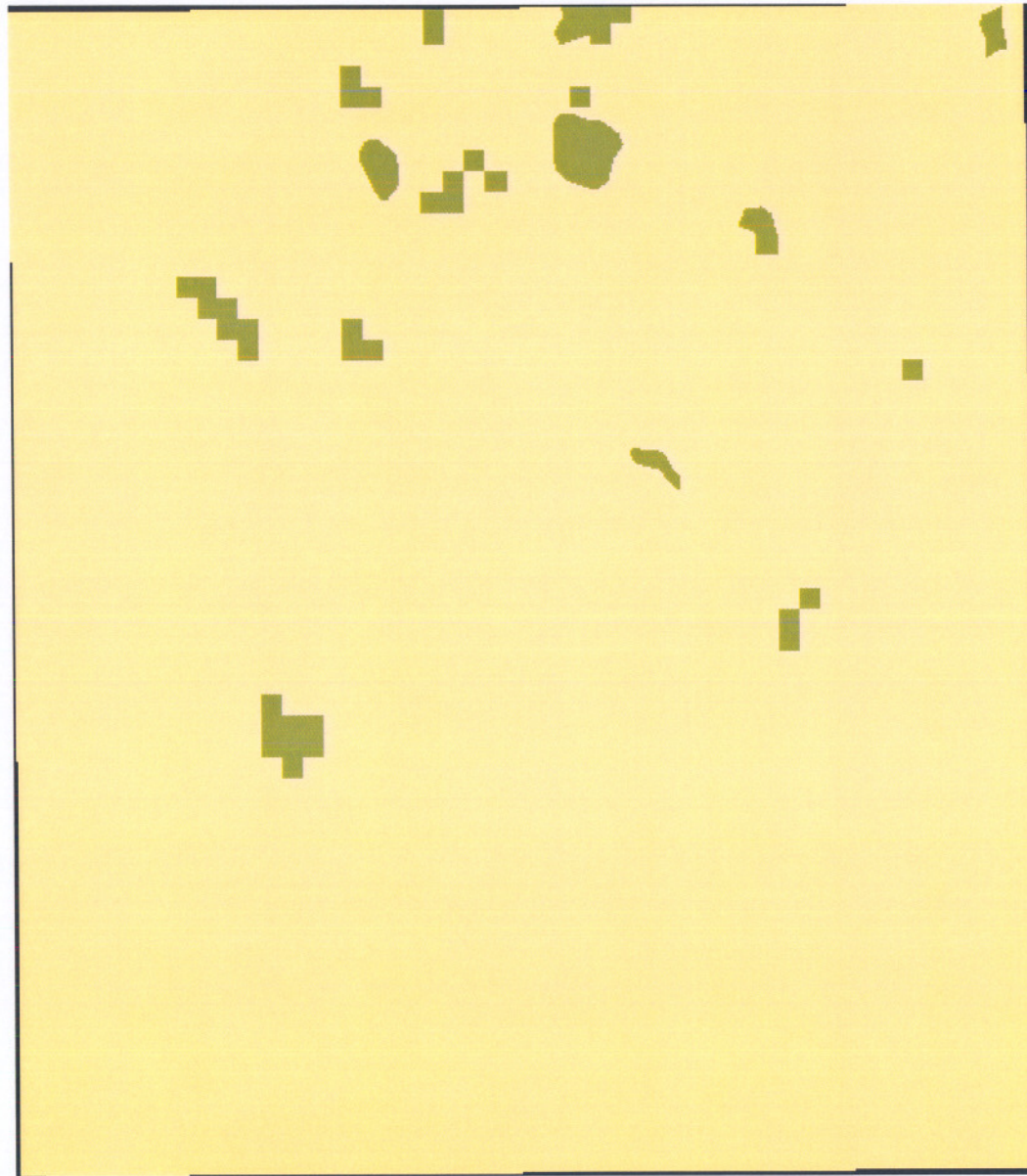
Fault Binary Map of Sabzevaran



Scale : 1 : 350,000

Reclass of Faultbin.shp - Buffers

0
1
No Data



Geochemical Promise Area Binary Map of Sabzevaran

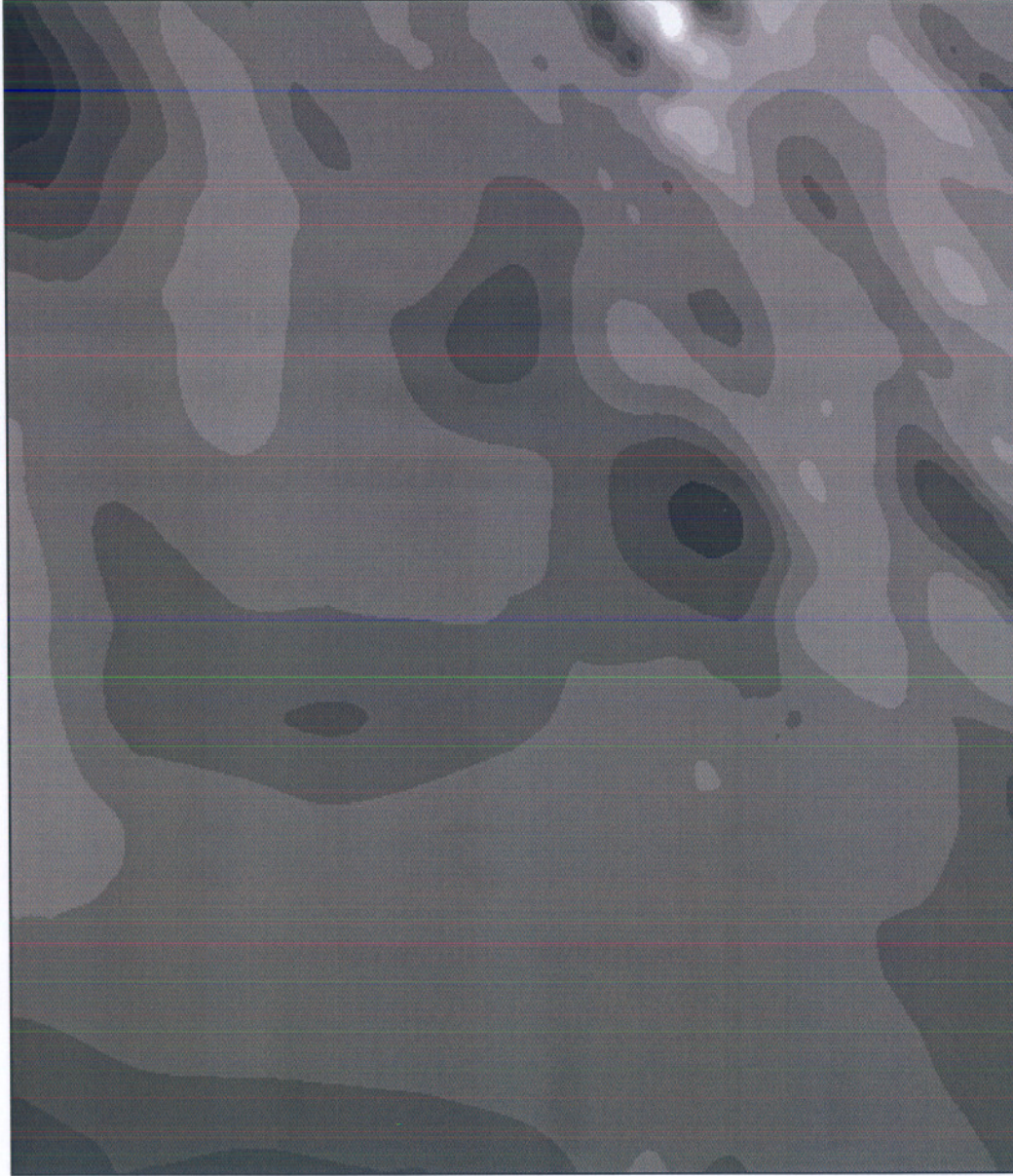


Scale : 1 : 350,000

Geochgrid

	0
	1
	No Data

شکل ۱- نقشه زمینه‌ی توپوگرافی ملی میگردان به قطب.



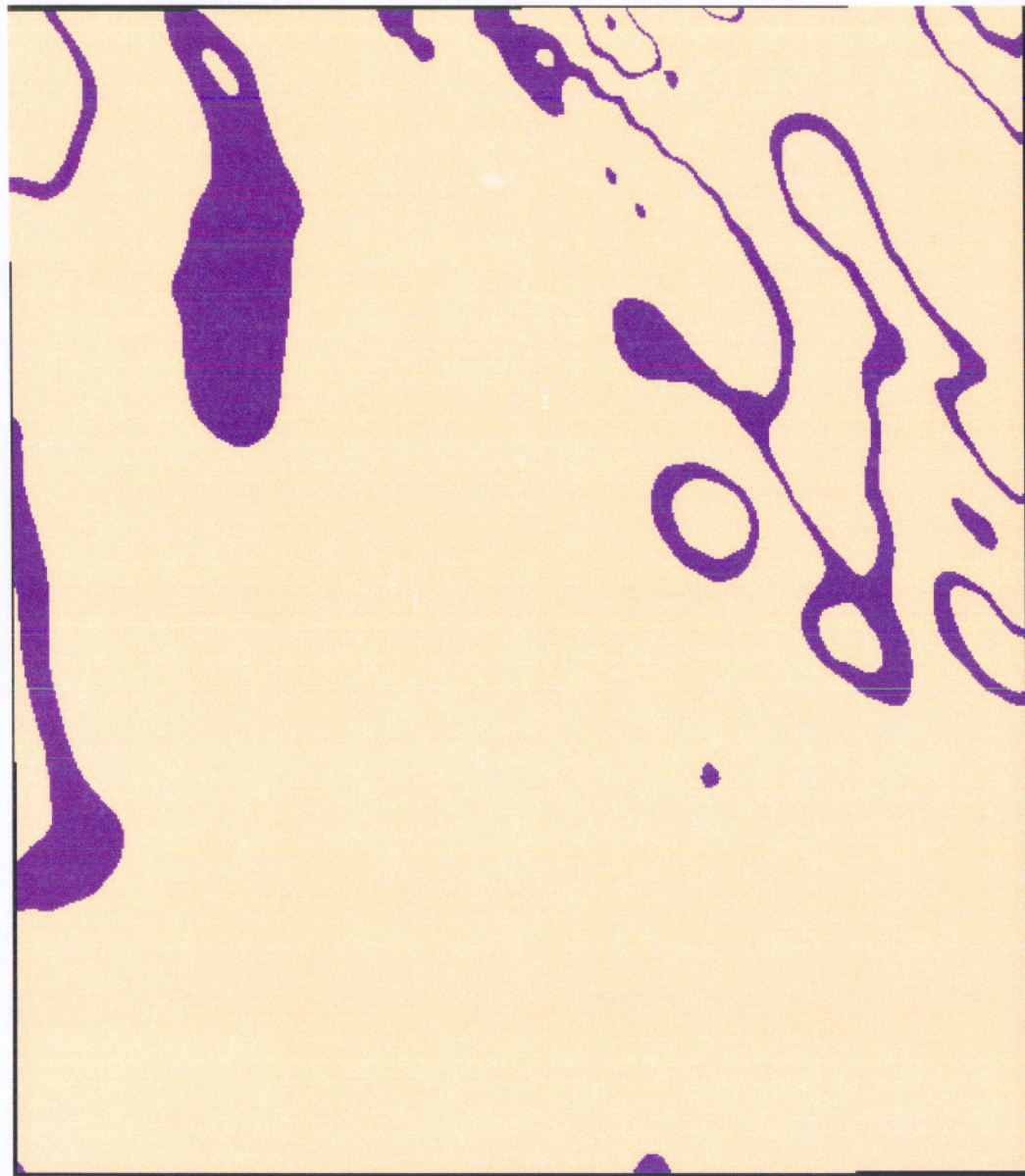
Geophysic Reduction to Pole Map of Sabzevaran

Reducgrd	
	38506.625 - 38554.089
	38554.089 - 38601.553
	38601.553 - 38649.017
	38649.017 - 38696.481
	38696.481 - 38743.945
	38743.945 - 38791.409
	38791.409 - 38838.873
	38838.873 - 38886.336
	38886.336 - 38933.8
	38933.8 - 38981.264
	38981.264 - 39028.728
	39028.728 - 39076.192
	39076.192 - 39123.656
	39123.656 - 39171.12
	39171.12 - 39218.584
	39218.584 - 39266.048
	39266.048 - 39313.512
	39313.512 - 39360.976
	39360.976 - 39408.44
	39408.44 - 39455.904
	39455.904 - 39503.368
	39503.368 - 39550.832
	39550.832 - 39598.295
	39598.295 - 39645.759
	39645.759 - 39693.223
	39693.223 - 39740.687
	39740.687 - 39788.151
	39788.151 - 39835.615
	39835.615 - 39883.079
	39883.079 - 39930.543
	No Data



Scale : 1 : 350,000

شکل ۱۱ - نقشهٔ پایه‌ی مذکوپ مولایی، برگردان به مقابله



Geophysic Reduction to Pole Binary Map of Sabzevaran



Scale : 1 : 350,000

Reclass 2 of Reducgrd

Yellow	0
Purple	1
No Data	



Geophysic Signal Map of Sabzevaran

Signalgrd
0.002 - 0.023
0.023 - 0.044
0.044 - 0.065
0.065 - 0.086
0.086 - 0.107
0.107 - 0.128
0.128 - 0.149
0.149 - 0.171
0.171 - 0.192
0.192 - 0.213
0.213 - 0.234
0.234 - 0.255
0.255 - 0.276
0.276 - 0.297
0.297 - 0.318
0.318 - 0.34
0.34 - 0.361
0.361 - 0.382
0.382 - 0.403
0.403 - 0.424
0.424 - 0.445
0.445 - 0.466
0.466 - 0.488
0.488 - 0.509
0.509 - 0.53
0.53 - 0.551
0.551 - 0.572
0.572 - 0.593
0.593 - 0.614
0.614 - 0.635
No Data



Scale : 1 : 350,000

شکل ۱۳ - نقشهٔ بازبرد مذکونطیس هوایی، سیدکنال.



Geophysic Signal Binary Map of Sabzevaran

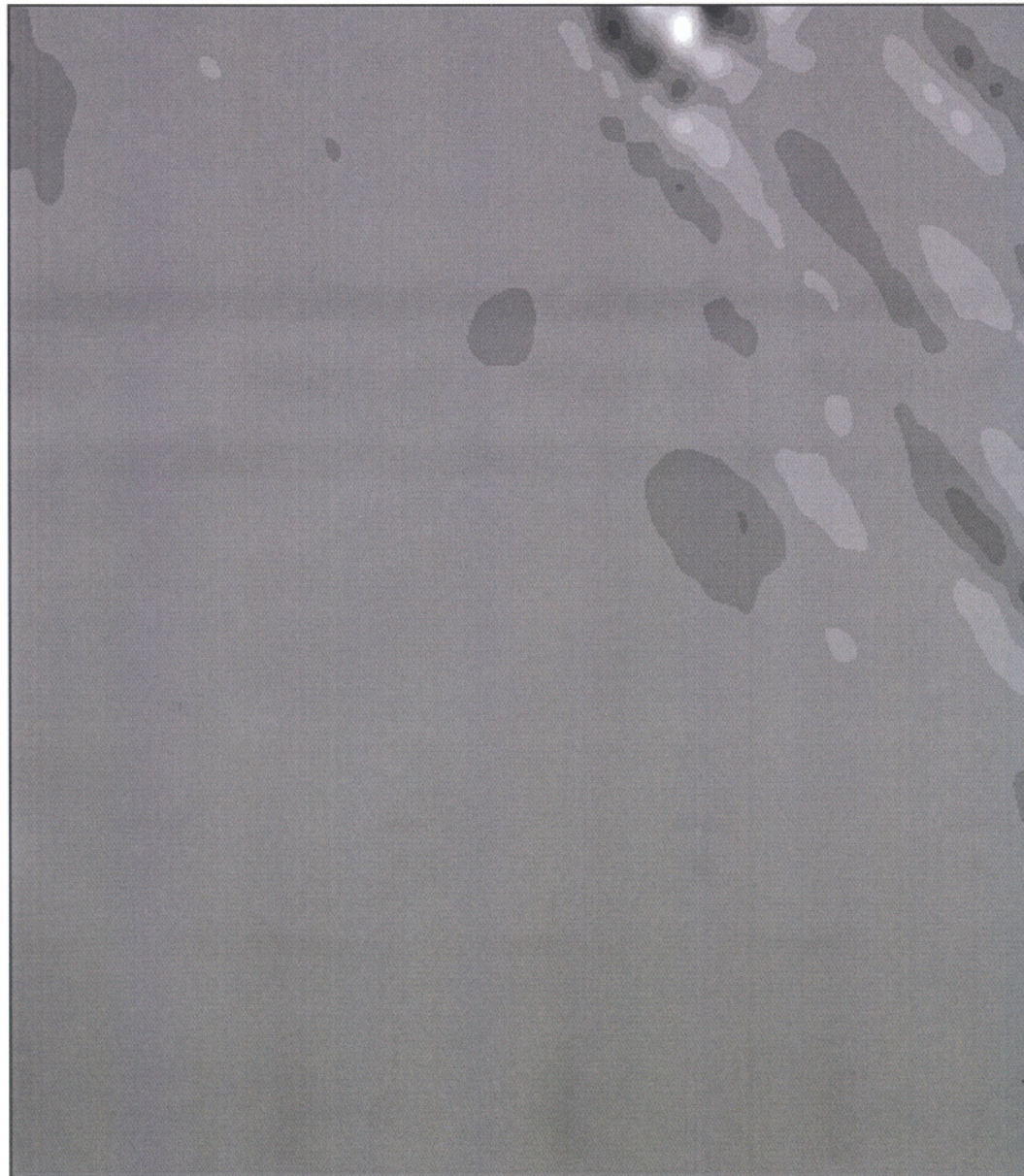


Scale : 1 : 350,000

Reclass of Reclass of Signalgrd

0
1
No Data

شکل ۱۵- نقشه زئوفیزیک هولوپی، مشتق اول.



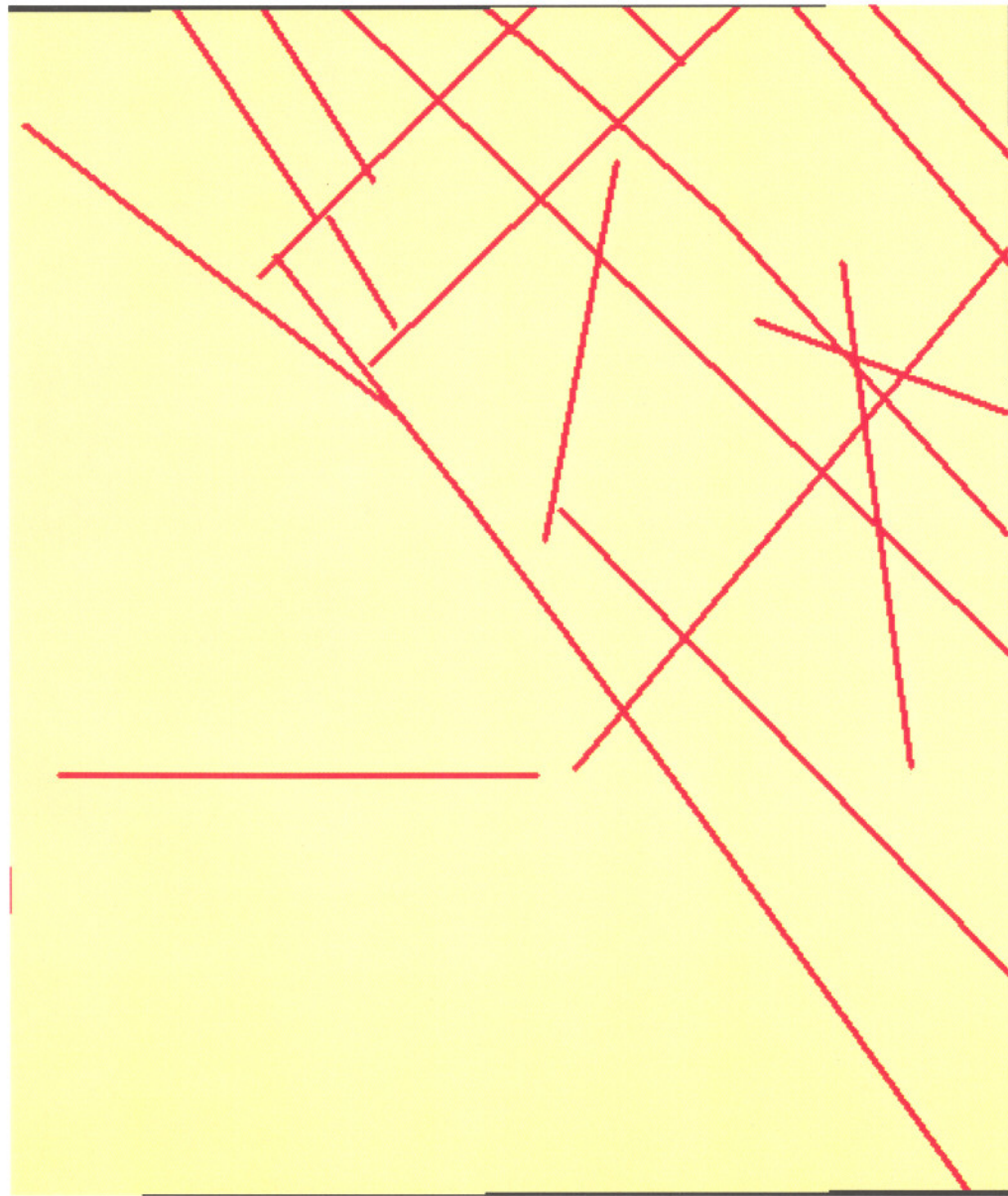
Geophysic 1st-Derivative Map of Sabzevaran

Dz1grd
-0.792 - -0.741
-0.741 - -0.691
-0.691 - -0.64
-0.64 - -0.589
-0.589 - -0.539
-0.539 - -0.488
-0.488 - -0.438
-0.438 - -0.387
-0.387 - -0.337
-0.337 - -0.286
-0.286 - -0.236
-0.236 - -0.185
-0.185 - -0.135
-0.135 - -0.084
-0.084 - -0.033
-0.033 - 0.017
0.017 - 0.068
0.068 - 0.118
0.118 - 0.169
0.169 - 0.219
0.219 - 0.27
0.27 - 0.32
0.32 - 0.371
0.371 - 0.421
0.421 - 0.472
0.472 - 0.523
0.523 - 0.573
0.573 - 0.624
0.624 - 0.674
0.674 - 0.725
No Data



Scale : 1 : 350,000

شکل ۱۸ - نقشهٔ میدانی گسلهای زمین‌زدگی.



Geophysic Fault Binary Map of Sabzevaran

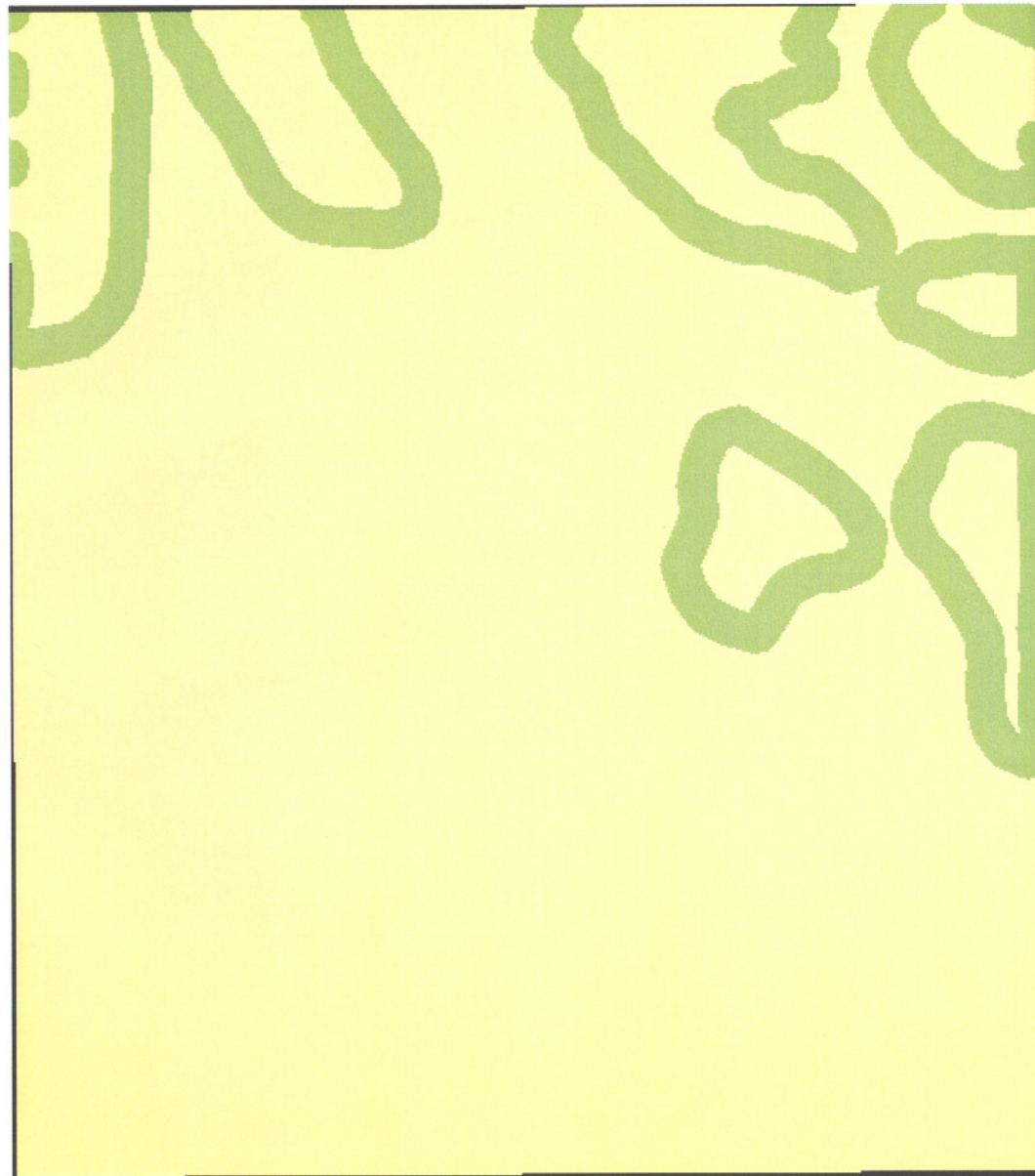


Scale : 1 : 350,000

Reclass of Geophysic Fault - Buffers

0
1
No Data

شکل ۲۰- نقشه با پیش ری توده های نفوذی کم عمق بین شناوری زوایفینیک هوایی:



Geophysics Shallow Depth Binary Map of Sabzevaran

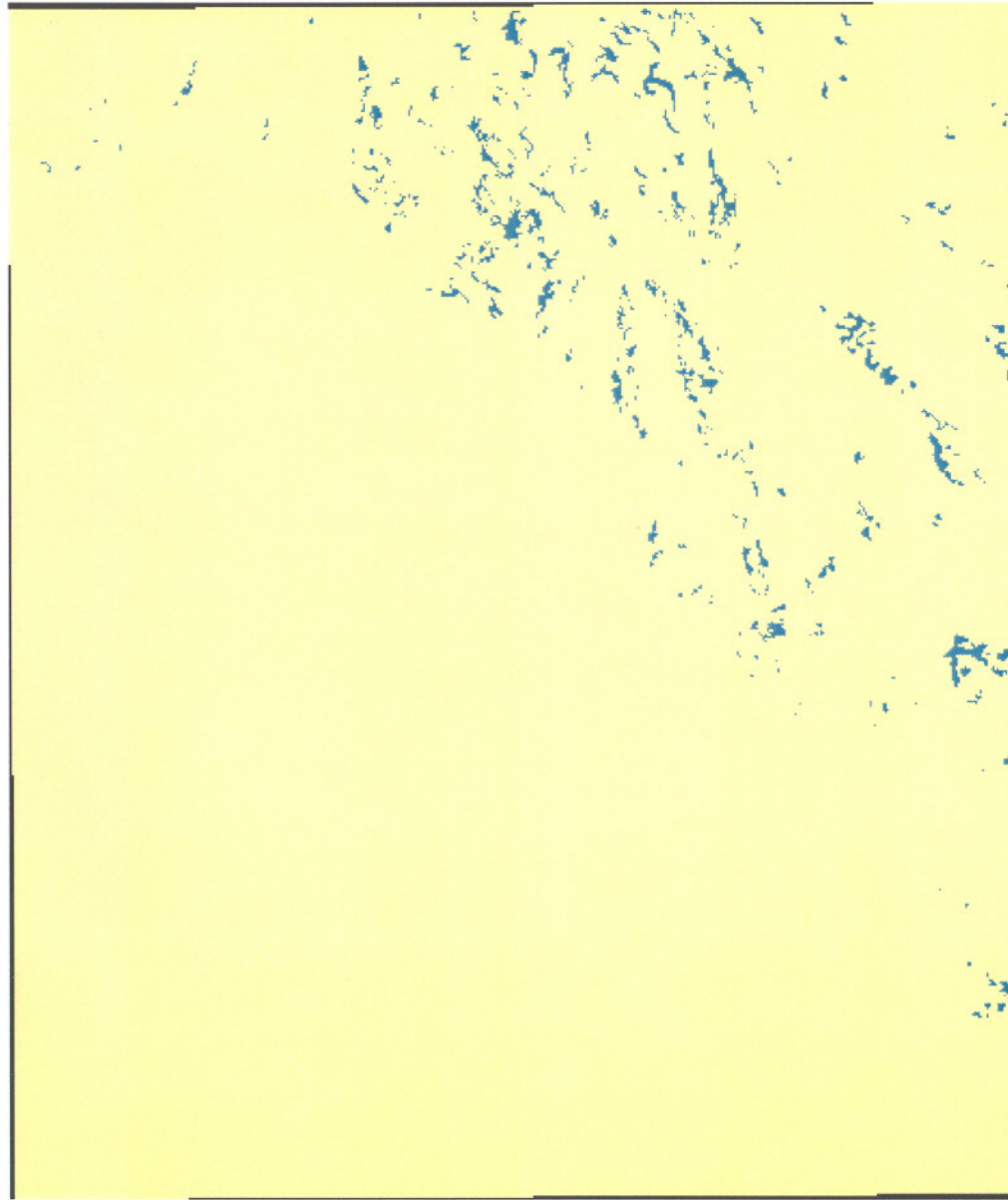


Scale : 1 : 350,000

Reclass of Shallowline.shp - Buffers

0
1
No Data

شکل ۱-۲- نقشهٔ بایزی آلتراسیون حاصل از تصاویر ماهواره‌ای.



Alteration Binary Map of Sabzevaran



Scale : 1 : 350,000

Reclass of Altergrid

0
1
No Data

شکل ۲۲- محصول بهایی تأثیرگذار، نقشه مقدماتی احتمال با تنسیل معدنی بر اساس وظایف شناسانگر.



*Mineral Potential Map
of Sabzevaran
Posterior Probability
by Weight's of Evidence Method*



Scale : 1 : 350,000

Posterior Probability

0.001 - 0.1
0.1 - 0.2
0.2 - 0.27
0.27 - 0.3
0.3 - 0.4
0.4 - 0.52